抑止杭による側方流動対策に関する研究

液状化層の粒径が対策効果に及ぼす影響

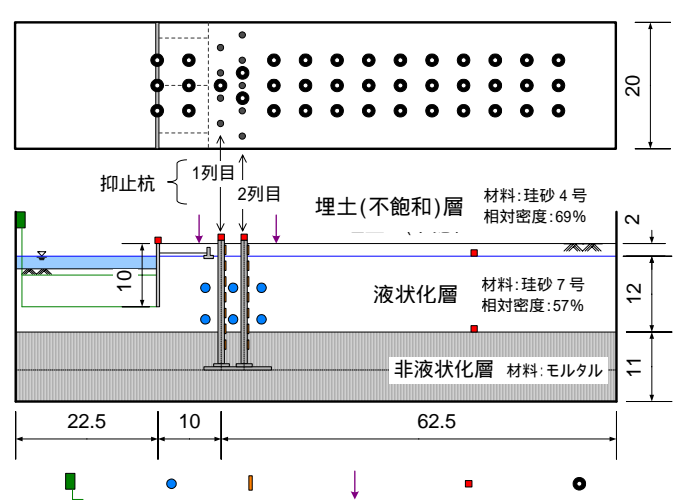
早稲田大学大学院 学生会員 孝多 優也 加藤 一紀 津久井 貴大

早稲田大学 フェロー会員 濱田 政則

1. 既往研究と本研究の目的

1.1 既往研究結果

筆者らは既往研究において,護岸の移動に伴う背後地盤の側方流動を抑制する工法として,護岸背後に抑止杭を打設する方法を提案し,その効果を遠心載荷場における模型実験により検証してきた 1) 2) 3). 一連の研究で模型地盤は,川崎市埋立地の控え工付矢板式護岸を対象としている.図1に護岸と地盤の模型(上から埋土による不飽和層,液状化層,非液状化層)を示す.実験では,加速度,水圧,護岸の変位,地表面変位および杭のひずみを測定した.図2に抑止杭の配列および,写真1に設置状況を示す.杭は中心間隔を4D(D:杭直径)とし,正三角形で配値している.杭1列目は既設護岸背後10m位置している.



ワイヤー変位計 水圧計 歪ゲージ レーザー変位計 加速度計 地表面ターゲット

図1 実験図面(4D正三角形配列)(単位 m:重力場換算)

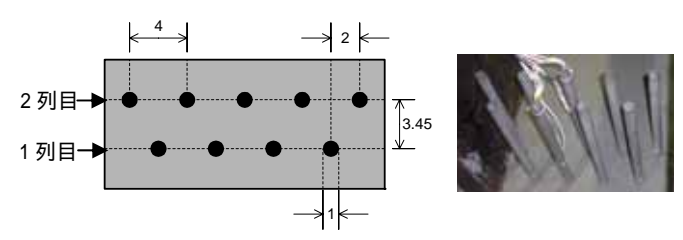


図2 杭配列(単位 m: 重力場換算)

写真 1 杭模型設置状況

表 1 杭の諸元

	材質	ヤング係数E kN/mm²	外径D mm	肉厚t mm	曲げ剛性EI kN·mm²
実物(重力場)	ステンレス	210	1000	25	1.9×10^{12}
模型(50G場)		210	20	0.5	3.1×10^{5}

杭の諸元は表 1 に示す通りである .図 3 に示すように 振幅 300gal ,周期 1.2Hz の正弦波で加振した .遠心加 速度は 50G である .

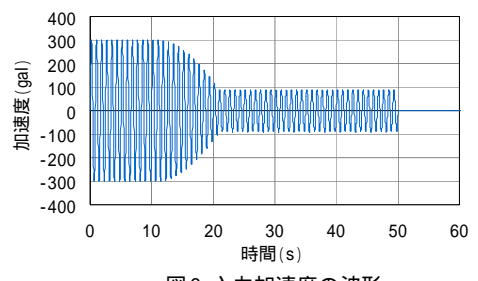


図3 入力加速度の波形

遠心加速度 50G で実験を行った結果,図 4 に示すように,護岸背後地盤は無対策の場合 $2.5 \sim 3.5$ m 流動しているのに対し,抑止杭を設置することで 1.3m 以下に抑制できることが分かった.また,杭背後の地盤は無対策の場合 $1 \sim 2$ m 流動しているのに対し,抑止杭を設置することで 0.3m 以下に抑制できることが分かった.

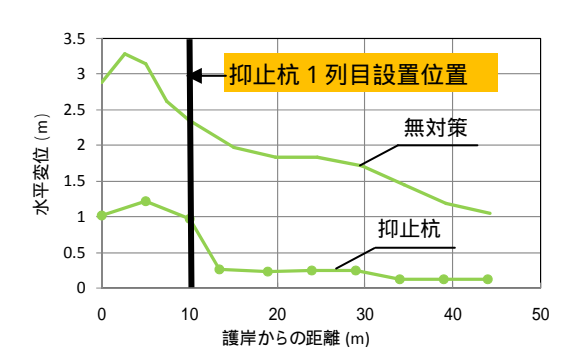


図 4 抑止杭工法の流動抑止効果(4D 正三角形配列)

1.2 既往研究の課題と本研究の目的

遠心加速度 50G,30G における重力場 遠心場間の 相似率を表2に示す.

表2 重力場-遠心場間の相似率

		長さ	力	応力	時間	加速度
相似率	50G	1/50	1/50	1	1/50	50
	30G	1/30	1/30	1	1/30	30

* 重力場の寸法に相似率を乗じると遠心場での寸法となる

遠心加速度 50G の既往研究で用いた珪砂 7 号 (平均 粒径 D_{50} =0.12mm)の粒径は相似率により重力場換算すると , D_{50} =6.2mm となる . そのため礫地盤により実験を行っていることになる .

キーワード 液状化,側方流動,遠心実験,抑止杭

連絡先 〒169-8555 東京都新宿区大久保 3-4-1 早稲田大学 濱田研究室 TEL03-3208-0349 E-mail conte_lovered@ruri.waseda.jp

既往研究ではこの粒径が杭の流動抑止効果に与える影響について検討がされていなかった.

そこで本研究は

地盤材料に珪砂 7号 (D₅₀=0.12mm)より小さい珪砂 8号 (D₅₀=0.07mm)を用いる 遠心加速度を 50G から 30G に減少させる

ことで,地盤材料の粒径が杭の抑止効果に与える影響を 検討した。

図 5 に珪砂 7 号・8 号の粒径加積曲線を示す.遠心載荷場 50G での珪砂 7 号の平均粒径は,重力場で6.2mm(図中 b d)となる.また遠心載荷場30Gでの珪砂8号の平均粒径は重力場で2.1mm(図中a c)となる.

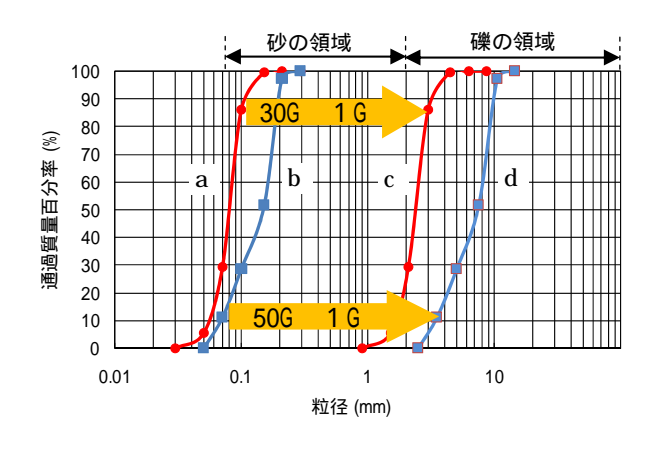


図5 模型地盤材料(珪砂7号・8号)の粒径加積曲線

2. 粒径の違いが杭による変位抑止効果に与える影響

2.1 水平变位抑止効果

図 6 に重力場換算した液状化地盤の粒径が,それぞれ D₅₀=6.2mm(50G 珪砂 7 号), D₅₀=2.1mm(30G 珪砂 8 号)の無対策及び抑止杭工法の地表面水平変位を示す. 粒径が異なる2つの実験において,無対策・抑止杭工法どちらも水平変位にはほとんど差が見られない.

これより粒径の違いが、地盤の流動現象及び杭の流動 抑止効果に与える影響はほとんどないと考えられる.

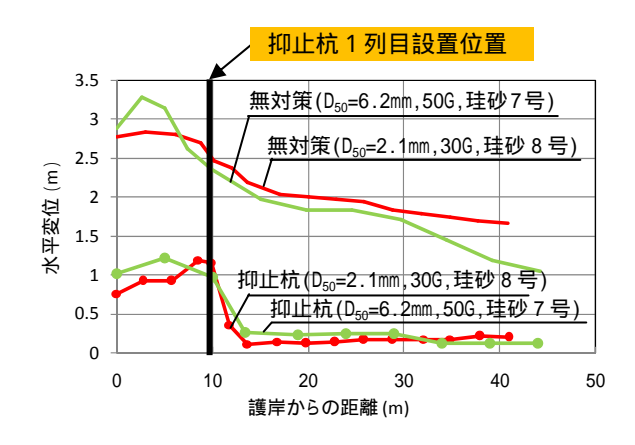


図6平均粒径の違いによる地表面水平変位比較(無対策・抑止杭工法)

2.2 鉛直变位抑止効果

図7に重力場換算した粒径が,それぞれ D_{50} =6.2mm (50G 珪砂7号), D_{50} =2.1mm(30G 珪砂8号)での無対策及び抑止杭工法の地表面鉛直変位を示す.

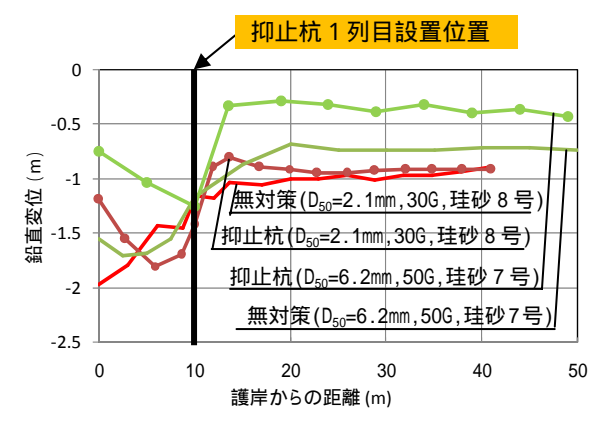


図7平均粒径の違いによる地表面鉛直変位比較(無対策・抑止杭工法)

護岸の鉛直変位は粒径の異なるいずれの場合も,抑止 杭を設置することで護岸の鉛直変位が0.8m程度抑制さ れていることがわかる.

また杭背後地盤の鉛直変位については,無対策・抑止 杭工法どちらの場合も,粒径の小さい方が地盤の鉛直変 位が大きくなると考えられる.

3.まとめと今後の課題

3.1まとめ

- ・模型地盤の平均粒径を小さくしても側方流動現象および抑止杭の流動抑止効果に与える影響は見られなかった。
- ・抑止杭による護岸の鉛直変位の抑制効果は平均粒径によらない、また杭背後地盤では平均粒径が小さい方が地表面沈下量は大きい.

3.2 今後の課題

重力場における杭の流動抑止効果を裏付ける.そのため過去に起きた被災事例から,埋立地護岸近傍において杭基礎の有無が護岸背後の地盤変位量に与える影響及び杭による流動抑止効果について検討する.

4. 参考文献

1)濱田政則・谷 賢俊:側方流動に対する護岸の耐震補強に関する研究,第63回年次学術講演会,2008.9

2)濱田政則・谷 賢俊:側方流動に対する護岸の耐震補強に関する研究,第64回年次学術講演会,2009.9

3)濱田政則・今中 涼平・加藤 一紀・津久井 貴大:抑止杭による側方流動対策に関する研究,第 65 回年次学 術講演会,2010.9